

3次元弾性非軸問題の1解法

大阪工業大学 正員 岡村宏一

1. まえがき； 3次元弾性非軸問題に対して、高精度、かつ、取扱いの便利な一般的な解法を見出すことは、従来、2次元問題に略近似して処理されてきた諸問題や、局所的な問題に関して、忠実な評価を与える多量の情報を提供できることを意味する。しかしながら、この領域の問題は、久しく弾性力学における難問とされ、目下のところ、研究例も数少ない。軸対称問題については、E. Steenberg、および、I.N. Sneddon 一派の人々によってかなり研究されたが、それすら解析は煩雑である。一方、非軸問題に関しては、部分的に差分法を用いる解法¹⁾もあるが、一般性のある解法として、3次元要素を用いる有限要素法によるアーローチ^{2),3)}が考えられており。しかし、有限要素法を用いる場合、しばしば、適当な検証資料が必要であるが、非軸状態、特に、局所的な精度について検討を行なうことのできる厳密な解析資料は皆無に近いと云ってよく、設計者にとって、計算費用、あるいは、準備作業のわざわらしさと、望ましい精度の間にある最適化条件を見出すための情報が目下のところ非常に乏しい。また、この種の問題に対する実験(光弾性実験など)の結果は、かなりばらつくことが多い。このような観点からみれば、有限要素法のみならず、この種の問題に対して取扱いの便利な、精度の高い一般的な解法が多面的に研究される必要がある。筆者は、以上の諸点を考慮の上、3次元弾性非軸問題に対する一般的な1解法を考察し、種々の問題に対する系統的な応用の方法、精度などについて研究中である。本文では、解法、ならびに、data の一部について報告する。

2. 解法； 本解法の基本的な性格は、“半無限弾性体から、任意の荷重状態、形状、境界条件を持つ3次元弾性体を切り取る”ことにある。とくせん、任意の3次元体を切り取ることができるのと同様に、任意の穴を切り取ることもできる。解法上、このような操作を行なうために、半無限体内に、ナイフのような鋭い作用を持つ分布力が与えられて、かくらんを起す。ところで、このような力の作用位置では、ある種の応力成分は singularity を持つ。したがって、そのごく近傍では望ましい条件を作り出すことはできない。そこで、半無限体内に設定された、任意のいくつかの面(以下、これらを調整面と呼ぶ)に、これらの力の分布が与えられ、真の境界面の条件は、それよりいくぶん離れた位置において満足させられる。すなわち、これらの分布力は、調整力としての役割を果たすことになる。ついでに、真の境界面の条件は、選点法によって満足させられる。したがって、本解法においては、差分法、あるいは、有限要素法のように、3次元体の内部に解析エッジを配置する必要はない。3次元体の内部では、厳密な連続解が与えられており、ただ、表面のみに

- 1) 色部、後藤、3次元弾性問題の数値解法、日本学会論文報告集、138、1967、11~20
- 2) Argyris J. H., and others, Some new elements for the matrix displacement method Proc. of Conf. on Matrix Method in Structural Mechanics, Wright-Patterson Air Force Base, Ohio, 1969, 333-398
- 3) Field S. A., Three Dimensional Theory of Elasticity Finite Element Method in Stress Analysis, Tapir, 1969, 333-363

必要最小限の点を設けて解析するものである。また、3次元体の形状や、境界条件として、原理的に任意なものを探ることができる。

さて、弾性体の内部に調整力を与え、singularityの問題を回避しつつ、任意の境界を作り出す方法は、すでに、E.R.Arante Oliveria⁴⁾によって、2次元問題の解析に試みられ、穴あきシャイベルの問題に関する、精度の確認とともにすぐれた成果を提供している。また、筆者らは、面内、面外の両作用をもつ斜板を含む構造物の立体解析に、このような考え方を拡張して用いた。⁵⁾ 本解法は本質的に、この種の手法をさらに発展させて一般化し、3次元非軸向問題の解決を可能にしたものである。ところで、本解法に用いられる諸関数はすべて代数関数であり、解析上の取扱いは便利である。また、すでに、基本的な問題について精度の確認を行なってある。以下、解法について、さらにくわしく述べる。

半無限弾性体内にかくらんを起す力を与える基本解として、図-1に示すようは、弾性体内の任意点に垂直、ばかりに水平方向の集中力がそれと作用するMindlinオ1、オ2問題の解を用いる。この際、 $D=0$ とすれば、表面力に対する Boussinesq, Cerruti, の解が得られ、これらの積分は、しばしば、表面荷重に対する特解として利用される。

さて、半無限弾性体内にナイフのような作用をおぼす分布力の要素を、図-2に見るように、前述の基本解をそれぞれ、垂直、水平、斜めの方向の長方形面に積分して与える。それぞれの面に作用する各方向の分布力の強さを、 S, q, t, \dots で表わし、これらによる弾性体内の任意点の応力成分を図-2の下にあるように記述する。演算記号は次のよう意味を持つ。たとえば、

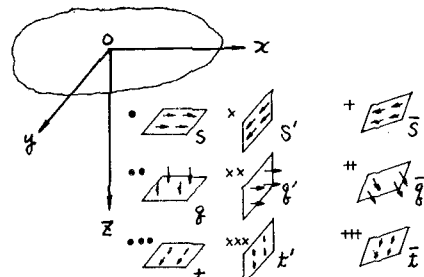
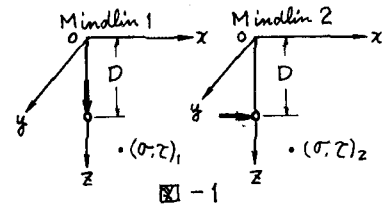
$\boxdot(\sigma, \tau)_2$; 単位荷重に対する Mindlin オ2 問題の応力成分の水平長方形面への積分、

$\boxdot(\sigma, \tau)_1$; 単位荷重に対する Mindlin オ1 問題の応力成分の垂直長方形面への積分、

$\boxdot(\sigma, \tau)_2$; 単位荷重に対する Mindlin オ2 問題の応力成分の斜め長方形面への積分、

$\boxdot\{(\sigma, \tau)_1, (\sigma, \tau)_2\}$; 互に直角なコンポーネントに対する Mindlin オ1 問題、オ2 問題の応力成分の斜め長方形面への積分の重ね合わせ。

従来、これら Mindlin 解の重積分はむつかしいとされてきたが、本解法に用いられるものはすべて積分可能である。特解として用いられる半無限体の表面に作用す



$$\begin{aligned}
 & \cdot S \times \boxdot(\sigma, \tau)_2 & \times S' \times \boxdot(\sigma, \tau)_2 \\
 & \cdots q \times \boxdot(\sigma, \tau)_1 & \times q' \times \boxdot(\sigma, \tau)_2 \\
 & \cdots t \times \boxdot(\sigma, \tau)_2 & \times t' \times \boxdot(\sigma, \tau)_1 \\
 & + \bar{S} \times \boxdot(\sigma, \tau)_2 & \\
 & ++ \bar{q} \times \boxdot\{(\sigma, \tau)_1, (\sigma, \tau)_2\} & \\
 & +++ \bar{t} \times \boxdot\{(\sigma, \tau)_1, (\sigma, \tau)_2\} &
 \end{aligned}$$

図-2

4) Oliveria, E.R.A. Plane stress analysis by a integral method. Proc. of A.S.C.E., EM1, 1968, 79-101

5) 岡村, 構造物の立体解析法, 構造物設計法の最近の進歩と問題点, 土木学会関西支部講習会テキスト, 1971,

る垂直、および水平方向の分布力、 σ_0, S_0 による応力成分、 $\sigma_{xy}(0; \tau), \sigma_{xz}(0; \tau)$ を含めて、解析上必要な応力関数は56種類である。紙面の都合上、その1例を記述しておく。

応力関数の1例： $\psi(0; \tau)$

$$\bar{\sigma}_x = \alpha \bar{\sigma}_{xz}, \quad \bar{\sigma}_y = \alpha \bar{\sigma}_{xy}, \quad \bar{\sigma}_z = \alpha \bar{\sigma}_{zz}, \quad \bar{\tau}_{xy} = \alpha \bar{\tau}_{xy}, \quad \bar{\tau}_{xz} = \alpha \bar{\tau}_{xz}, \quad \bar{\tau}_{yz} = \alpha \bar{\tau}_{yz}.$$

$$\begin{aligned} \bar{\sigma}_z &= -2(1-\mu)(1-z)\mu \sin^{-1} \frac{ab(a^2-b^2)}{A_2 B_2 [C_2^2 + 2C_2 + (Z+D)](Z+D)} + *2\mu \sin^{-1} \frac{ab}{A_1 B_1} \\ &+ 2(1-z)\mu^2 \sin^{-1} \frac{ab}{A_2 B_2} + \frac{ab(z-D)}{A_2^2 C_1} + \frac{2ab(a^2+b^2)ZD}{(Z+D)A_2^2 C_2^2} + \frac{b(Z+D)}{AC_2} \left[\frac{1}{A_2^2} - 3a^2 \right. \\ &\left. + \frac{4\mu a^2 Z}{Z+D} + \frac{4a^2 ZD}{(Z+D)^2} + \frac{6a^2 b^2}{(Z+D)^2} \right] - \frac{4a^2 ZD}{A_2^4 (Z+D)^4} + \frac{4\mu a^2 b}{B_2^2 (Z+D)} \end{aligned}$$

$$\bar{\sigma}_z = z(1-\mu)(\pm * \sin^{-1} \frac{ab}{A_1 B_1} + \sin^{-1} \frac{ab}{A_2 B_2}) + \frac{ab(z-D)}{C_1} \left(\frac{1}{A_1^2} + \frac{1}{B_1^2} \right) + \frac{ab(a^2+b^2)ZD}{3(C_2+Z+D)C_2^3}.$$

$$* \left(\frac{1}{A_2^2} + \frac{1}{B_2^2} \right) + \frac{ab}{(Z+D)C_2} \left\{ (3-4\mu)Z^2 + 2(5-2\mu)ZD + D^2 \right\} \left(\frac{1}{A_2^2} + \frac{1}{B_2^2} \right) - 4 \frac{abZD}{(Z+D)C_2} \left(\frac{a^2}{A_2^2} + \frac{b^2}{B_2^2} \right)$$

$$\bar{\tau}_{xy} = \left\{ \begin{array}{l} \frac{4(1-\mu)}{z(1-2\mu)*} - (5-8\mu) \frac{D}{Z+D} + \frac{D(z-D)}{(Z+D)^2} - 4(1-\mu)(1-z)\mu \log \frac{(A_2+z+D)(B_2+z+D)}{Z(Z+D)(C_2+z+D)} \\ -(3-4\mu)(Z-D) \left(\frac{1}{A_2} + \frac{1}{B_2} - \frac{1}{C_2} \right) - 2ZD(Z+D) \left(\frac{1}{A_2^3} + \frac{1}{B_2^3} - \frac{1}{C_2^3} \right) - (Z-D) \left(\frac{1}{A_1} + \frac{1}{B_1} - \frac{1}{C_1} \right) \end{array} \right.$$

$$\begin{aligned} \bar{\tau}_{xz} &= (1-z)\mu \log \frac{(B_1+b)(Z+D)(C_2+b)A_1}{(B_2+b)(Z+D)(C_1+b)A_2} + b \left\{ \frac{1}{B_1} - \frac{(Z-D)^2}{A_1^2 C_1} \right\} + b \left\{ (3-4\mu)Z(Z+D) + D(Z-D) \right\} \left\{ \frac{1}{(Z+D)^2 B_2} - \frac{1}{A_2^2 C_2} \right\} \\ &+ 2ZDB \left\{ \frac{1}{B_2^3} + \frac{1}{A_2^2 C_2} \left\{ \frac{2a^2}{A_2^2} - \frac{(Z+D)^2}{C_2^2} \right\} \right\} \end{aligned}$$

ただし、 $\alpha = \frac{1}{8(1-\mu)\pi}$, $A_1 = \sqrt{a^2 + (Z-D)^2}$, $A_2 = \sqrt{a^2 + (Z+D)^2}$, $B_1 = \sqrt{b^2 + (Z-D)^2}$, $B_2 = \sqrt{b^2 + (Z+D)^2}$, $C_1 = \sqrt{a^2 + b^2 + (Z-D)^2}$, $C_2 = \sqrt{a^2 + b^2 + (Z+D)^2}$, μ : ポアソン比、また、記号*は $D > Z$ の場合である。さらに、 $\bar{\sigma}_y, \bar{\tau}_{yz}$ は、 $\bar{\sigma}_x, \bar{\tau}_{xz}$ にみたて、 x, z 各方向の値を入れ替えて求めらる。

なお、これらの応力は、図-3にみるよう、長方形面の1つの隅点を通じ線工の端に對して与えられるが、重ね合わせによつて、任意の長方形、および任意点に対する応力が求まる。そのほか、3方向の変位成分、 u, v, w も応力の場合と同様に与えらる。

さて、図-4によつて、まづ、半無限体から、所要の3次元体を分離する操作を説明する。ここでは、表面荷重を受ける直方体の問題が扱われる。図のように半無限体の表面に荷重を与え、求め直方体の外側を囲んで、垂直、および水平調整面①、②、③を設定し、これらの調整面のそれを、有限長方形領域(i, j, r など)に沿つて分割する。こ

うに、図-2に示した方法で、これらの長方形領域のそれぞれにおいて等分布する調整力(f_i, S_i, t_i など)を与える、それらの作用によつて、真の境界面の境界条件を調整する。すなわち、調整力は未知量である。

また、有限領域の分割、調整面と境界面の距離は境界条件の精度に対応して定められ。いま、境界面(側面)上の選択 m は自由、または、一定の外力を受ける条件を持つ

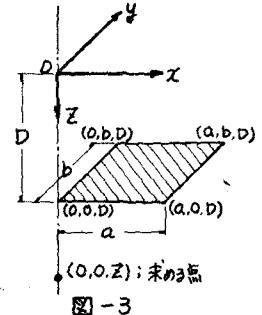


図-3

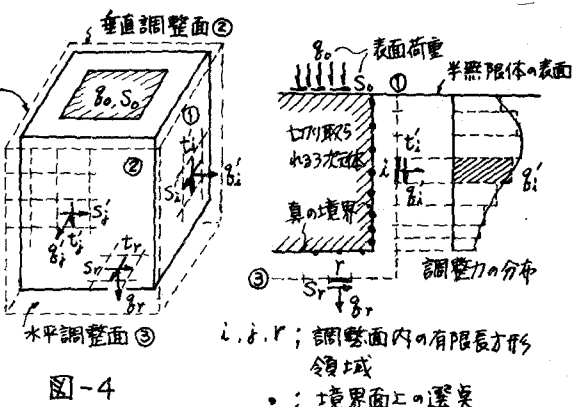


図-4

とすれば、

$$(\sigma, \tau)_m = \sum_i \{ S'_i \times \Pi_i (\sigma, \tau)_z + g'_i \times \Pi_i (\sigma, \tau)_x + t'_i \times \Pi_i (\sigma, \tau)_y \}_m + \sum_j \{ S'_j \times \Pi_j (\sigma, \tau)_z + g'_j \times \Pi_j (\sigma, \tau)_x + t'_j \times \Pi_j (\sigma, \tau)_y \}_m \\ + \sum_r \{ S_r \times \Xi_r (\sigma, \tau)_z + g_r \times \Xi_r (\sigma, \tau)_x + t_r \times \Xi_r (\sigma, \tau)_y \}_m + \{ S_o \times \Xi_o (\sigma, \tau)_{z=0} + g_o \times \Xi_o (\sigma, \tau)_{x=0} \}_m = 0 \text{ or } C_m$$

また、底面の藍点れが変位拘束の条件を持つならば、 $(u, v, w)_n = 0$

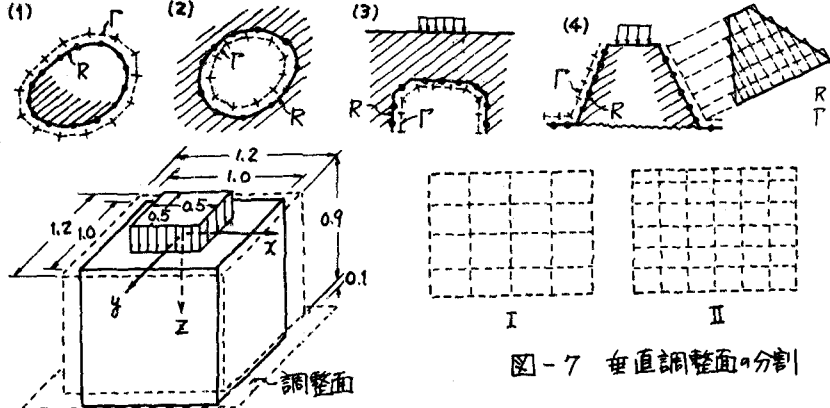


図-5 (1) 任意断面柱

(2) 穴の切り取り

(3) 厚板

(4) 截頭錐体

図-6 頂面に分布荷重を受ける立方体

図-7 垂直調整面の分割

図-5は、座標回転、斜めの分割面の解 $\square(\sigma, \tau)$ を併用して、各種の問題の境界面を調整する方法を断面図(1)によって示した

ものである。

3. 計算データ；

基本的なデータとして、表面荷重 g_0 を受ける立方体の側面(自由面)を切り取る模様を示す。図-8は、表面荷重 g_0 を半無限体内に存在した応力が、調整 Γ によって、境界面 Γ で比較的簡単に、精度良く消滅することを示す。図-9は直方体の内部応力の分布の一部を示した。

4. むすび；

目下、図-5は諸問題について研究を続行中であり、近く発表の予定である。

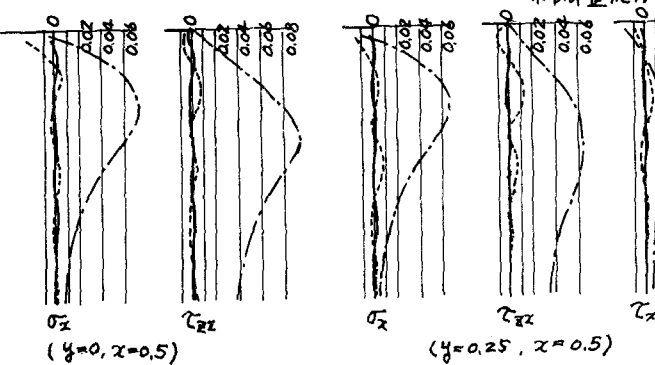


図-8 境界調整の精度

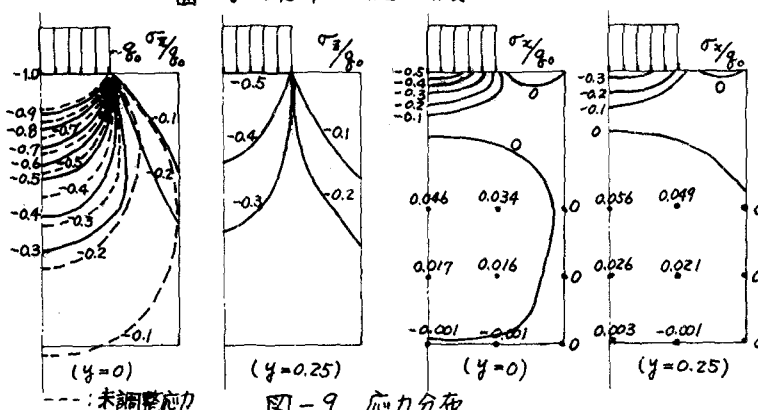


図-9 応力分布